

УДК 621.373 : 535

## СОБСТВЕННЫЕ ЧАСТОТЫ И ПОЛЯРИЗАЦИИ ОБЪЕМНОГО КОЛЬЦЕВОГО РЕЗОНАТОРА

Т. Ф. Панкратова

Найдены поляризации собственных колебаний устойчивого четырехзеркального кольцевого резонатора, заполненного однородной средой, ось которого может не лежать в одной плоскости. Получены приближенные формулы для вычисления собственных частот. Указан способ вычисления соответствующих распределений поля.

1. Рассмотрим оптический кольцевой  $N$ -зеркальный резонатор, заполненный изотропной средой с диэлектрической и магнитной проницаемостями  $\epsilon = \epsilon(r)$ ,  $\mu = \mu(r)$ . Зададим поле в резонаторе системой стационарных уравнений Максвелла

$$\left. \begin{aligned} \operatorname{rot} \mathbf{E} &= i\omega\mu\mathbf{H}, \\ \operatorname{rot} \mathbf{H} &= -i\omega\epsilon\mathbf{E}, \end{aligned} \right\} \quad (1)$$

и условиями идеального отражения на зеркалах  $S_j$

$$\mathbf{E}_{\text{tang.}}|S_j = 0, \quad j = 1, 2, \dots, N. \quad (2)$$

Лучом в неоднородной среде называется экстремаль интеграла Ферма  $I = \int \sqrt{\epsilon\mu} (d\mathbf{r}, d\mathbf{r})$ . Ось резонатора — замкнутый луч, который, последовательно отражаясь от всех зеркал, после всех отражений переходит сам в себя. При некоторых условиях собственные электромагнитные колебания в резонаторе сосредоточены в окрестности его оси. Эти условия, грубо говоря, сводятся к следующему. Пусть  $I_0$  — квадратичное приближение интеграла  $I$  в окрестности оси. Экстремали интеграла  $I_0$  — лучи в первом приближении. Резонатор называется устойчивым по первому приближению, если лучи в первом приближении, близкие к оси резонатора, после многочленных отражений от всех зеркал остаются вблизи оси. Это может иметь место, если пучок света вблизи оси достаточно узок, ось резонатора проходит достаточно далеко от краев зеркал, а размеры зеркал велики, так что дифракционными потерями на краях можно пренебречь. Перечисленные условия сводятся к некоторым неравенствам на параметры резонатора. Для четырехзеркального резонатора эти неравенства будут выписаны ниже.

Задача о собственных колебаниях кольцевого резонатора, ось которого лежит целиком в некоторой плоскости, может быть сведена к скалярной. В этом случае в резонаторе существуют собственные колебания двух различных поляризаций. Для одной вектор  $\mathbf{E}$  лежит в плоскости оси, для другой перпендикулярен этой плоскости. Для каждой поляризации уравнения Максвелла сводятся к уравнению  $\Delta u + \epsilon\mu\omega^2 u = 0$  с граничным условием  $du/dn|_{S_j} = 0$  для одной поляризации и  $u|_{S_j} = 0$  для другой. Формулы для собственных функций и собственных частот таких резонаторов (устойчивых по первому приближению) получены Поповым [1-3].

В произвольной неоднородной среде, однако, ось резонатора не лежит целиком в некоторой плоскости. Более того резонатор, заполненный однородной средой, может быть устроен так, что его ось не принадлежит

никакой плоскости. Поместим, например, четыре зеркала в вершины тетраэдра так, что ось резонатора совпадает с четырьмя его ребрами (рис. 2). Если вектор  $\mathbf{E}$  перпендикулярен плоскости падения луча на одно из зеркал, то он уже направлен под некоторым другим углом по отношению к плоскости падения на следующее зеркало. Здесь разбиение задачи на две скалярные невозможна.

Методика решения задачи (1), (2) в наиболее общем случае для устойчивых по первому приближению резонаторов изложена автором в работе [4], однако никаких конкретных примеров там не рассмотрено. В настоящей работе получены явные формулы для собственных чисел и собственных функций задачи (1), (2) в случае четырехзеркального резонатора, заполненного однородной средой. Ось резонатора при этом может не лежать в одной плоскости, что приводит, как оказывается, к появлению двух поляризаций собственных колебаний с различными частотами, для которых вектор  $\mathbf{E}$  образует разные углы с разными плоскостями падения.

2. Решения задачи (1), (2), сосредоточенные вблизи оси резонатора, в каждой точке в окрестности оси можно построить в виде следующих формальных рядов по обратным степеням большого параметра:

$$\left. \begin{aligned} \mathbf{E}_{q, m_1, m_2, p} &= \sum_{k=0}^{\infty} \mathbf{E}^{(k)} \Omega^{-k/2} \exp(i\Omega I), \\ \mathbf{H}_{q, m_1, m_2, p} &= \sum_{k=0}^{\infty} \hat{\mathbf{H}}^{(k)} \Omega^{-k/2} \exp(i\Omega I), \end{aligned} \right\} \quad (3)$$

где интеграл  $I$  берется вдоль оси резонатора от некоторой фиксированной точки до основания перпендикуляра, опущенного на ось из точки, в которой вычисляется поле;  $q \geq 1, m_1, m_2 = 0, 1, 2, \dots, p$  — индекс поляризации — принимает два значения:  $p = 1, 2$ .

Параметр  $\Omega$  в формуле (3) является нулевым приближением для собственной частоты  $\omega$  и задается следующим выражением:

$$\Omega = \frac{2\pi \left(q + \frac{N}{2}\right) + \sum_{k=1}^2 \left(m_k + \frac{1}{2}\right) \alpha_k - \vartheta_p}{\intop_0^L \sqrt{\varepsilon \mu} (d\mathbf{r}, d\mathbf{r})}, \quad (4)$$

где  $\alpha_1, \alpha_2, \vartheta_1, \vartheta_2$  — числа, зависящие от параметров резонатора (ниже они будут написаны явно в рассмотренном примере),  $L$  — длина всей оси. Частота  $\omega$  выражается через  $\Omega$  приводимой ниже формулой

$$\omega = \Omega + \sum_{k=1}^{\infty} \Omega^{-k} \delta_k. \quad (5)$$

Способ определения чисел  $\delta_k$  (поправок к нулевому приближению) изложен в работе [4].

Задача решается в ортогональной системе координат  $(s, \xi_1, \xi_2)$ , связанной с лучом. А именно,  $s$  — длина дуги оси резонатора,  $\xi_1, \xi_2$  — декартовы координаты, в каждой точке  $(s, 0, 0)$  перпендикулярные к оси. В нулевом приближении собственное поле поперечно  $\hat{E}_s^{(0)} = \hat{H}_s^{(0)} = 0$  и удовлетворяет таким же соотношениям, как в плоской волне

$$\left. \begin{aligned} \sqrt{\varepsilon} \hat{E}_1^{(0)} &= \sqrt{\mu} \hat{H}_2^{(0)}, \\ \sqrt{\varepsilon} \hat{E}_2^{(0)} &= -\sqrt{\mu} \hat{H}_1^{(0)}. \end{aligned} \right\} \quad (6)$$

Собственные функции нулевого приближения имеют следующий вид:

$$\mathbf{E}^{(0)} = (\det \gamma)^{-1/2} \exp \left[ \frac{i \sqrt{\varepsilon \mu}}{2} (\gamma \gamma^{-1} \mathbf{x}, \mathbf{x}) \right] P_{m_1 m_2}(s, \mathbf{x}) \mathbf{C}_p^{(j)}, \quad (7)$$

где  $\mathbf{x} = (\sqrt{\Omega} \xi_1, \sqrt{\Omega} \xi_2)$ ,  $p$  — индекс поляризации,  $\gamma(s)$  — матрица, столбцами которой являются решения  $\gamma_k(s)$  уравнения Эйлера для  $\gamma_k$

$$\frac{d^2}{ds^0} \gamma_k - \left[ \sqrt{\varepsilon\mu} \left( \frac{\partial}{\partial s} \frac{1}{\sqrt{\varepsilon\mu}} \right) \right] \Big|_{s=0} \frac{d}{ds} \gamma_k + K(s) \gamma_k = 0, \quad (8)$$

$K(s) = \sqrt{\varepsilon\mu} \left\| \frac{\partial^2}{\partial \xi_i \partial \xi_k} \frac{1}{\sqrt{\varepsilon\mu}} \right\|_{s=0}$  — матрица второго порядка,  $P_{m_1 m_2}(s, \mathbf{x})$  — полином степени  $m_1 + m_2$  по  $\sqrt{\Omega} \xi_1, \sqrt{\Omega} \xi_2$  с коэффициентами, зависящими от  $s$ ;  $\mathbf{C}_p^{(j)} = (C_{1p}^{(j)}, C_{2p}^{(j)})$  — вектор, в каждой точке  $s$  перпендикулярный к оси, фиксированный на каждом отрезке оси между двумя соседними зеркалами (называемом плечом резонатора). Значение этого вектора определено ниже формулами (18), (19).

3. Опишем способ вычисления чисел  $\alpha_1, \alpha_2, \vartheta_1, \vartheta_2$  в формуле (4). Фиксируем четыре линейно независимых решения  $\gamma_k^{(j)}$ ,  $k=1, 2, 3, 4$ , уравнения (8) в каждом  $j$ -м плече резонатора. Любое другое решение  $\gamma^{(j)}$  имеет вид

$$\gamma^{(j)}(s) = \sum_{k=1}^4 a_k^{(j)} \gamma_k^{(j)}(s). \quad (9)$$

Таким образом, любое решение уравнения (8) в каждом плече резонатора определяется постоянным вектором  $\mathbf{A}^{(j)} = (a_1^{(j)}, a_2^{(j)}, a_3^{(j)}, a_4^{(j)})$ . Векторы  $\mathbf{A}^{(j+1)}$  и  $\mathbf{A}^{(j)}$  в двух соседних плечах резонатора связаны между собой матрицей  $\Gamma_j$ , которую легко получить из вариационных соображений. После последовательного отражения от всех зеркал вектор  $\mathbf{A}^{(j)}$  преобразуется в вектор  $\mathbf{A}^{(j+N)}$ , связанный с  $\mathbf{A}^{(j)}$  следующей вещественной матрицей четвертого порядка  $\Gamma$ :

$$\Gamma = \Gamma_{j+N} \cdots \Gamma_{j+1} \Gamma_j, \quad (10)$$

которая имеет четыре собственных числа,

$$\Gamma \mathbf{A}_k = \lambda_k \mathbf{A}_k, \quad k=1, 2, 3, 4. \quad (11)$$

Резонатор является устойчивым по первому приближению, если все числа  $\lambda_k$  простые и равны по модулю единице

$$\lambda_k = \exp(i\alpha_k), \quad \lambda_{k+2} = \bar{\lambda}_k = \exp(-i\alpha_k), \quad k=1, 2. \quad (12)$$

Решения уравнения (8) и (9), можно выбрать так, что будут выполняться следующие условия:

$$1) \quad (\text{Im } \gamma \gamma^{-1} \mathbf{x}, \mathbf{x}) > 0 \quad \text{при } \mathbf{x} \neq (0, 0). \quad (13)$$

Это условие обеспечивает быстрое убывание решений вида (7) при удалении от оси.

2) После обхода всей оси столбцы  $\gamma_k^{(j)}$  матрицы  $\gamma$  в формуле (7) приобретают множитель  $\exp(i\alpha_k)$ ,  $k=1, 2$

$$\gamma_k^{(j+N)}(s) = \gamma_k^{(j)}(s) \exp(i\alpha_k), \quad k=1, 2. \quad (14)$$

3) На каждом зеркале автоматически будет выполняться равенство показателей экспонент и полиномиальных множителей для падающего и отраженного лучей.

Теперь остается подобрать постоянные векторы  $\mathbf{C}_p^{(j)}$  в каждом плече резонатора так, чтобы выполнялись условия идеального отражения на зеркалах и построенное поле было однозначным. Коэффициент отражения для вектора  $\mathbf{E}_{\perp}$ , перпендикулярного плоскости падения луча на зеркало, равен  $-1$ , а для вектора  $\mathbf{E}_{\parallel}$ , лежащего в плоскости падения, равен  $1$ . Плоскость  $Q_{j+1}$  падения на  $j$ -е зеркало повернута относительно плоскости  $Q_j$  падения на  $j-1$ -е зеркало на угол  $\varphi_j$  (рис. 1). Отсюда следует, что

$$\mathbf{E}^{(j+1)}|_{s_j} = J U(\varphi_j) \mathbf{E}^{(j)}|_{s_j}, \quad (15)$$

где  $\mathbf{E}^{(k)} = (E_{\parallel}^{(k)}, E_{\perp}^{(k)})$ ,  $U(\varphi_j)$  — матрица поворота на  $\varphi_j$ ,

$$J = \begin{pmatrix} 1 & 0 \\ 0 & -1 \end{pmatrix}. \quad (16)$$

Вектор  $\mathbf{E}^{(j+N)}$  в луче, обошедшем всю ось, приобретает по сравнению с вектором  $\mathbf{E}^{(j)}$  в первоначальном луче постоянный множитель вида

$$\mathbf{C}_p^{(j+N)} = G_j \mathbf{C}_p^{(j)}, \quad (17)$$

где

$$G_j = JU(\varphi_{j+N-1}) \dots JU(\varphi_{j+1}) JU(\varphi_j). \quad (18)$$

Матрица второго порядка  $G_j$  имеет два собственных числа  $\exp(i\vartheta_p)$ ,  $p = 1, 2$ . Возьмем в выражении (7) в качестве вектора  $\mathbf{C}_p^{(j)}$  собственный вектор матрицы  $G_j$

$$G_j \mathbf{C}_p^{(j)} = \mathbf{C}_p^{(j)} \exp(i\vartheta_p), \quad p = 1, 2. \quad (19)$$

Из требования однозначности следует, что вектор  $\mathbf{E}^{(j+N)}(s)$  в луче, отраженном от всех зеркал, должен совпадать с вектором  $\mathbf{E}^{(j)}(s)$  в первоначальном луче. Из этого требования и вытекает выражение (4) для собственных частот резонатора, где  $\alpha_k = \arg \cos \frac{1}{2}(\lambda_k + \bar{\lambda}_k)$  определяется формулами (10), (11), число  $\vartheta_p$  — аргумент собственного значения  $\exp(i\vartheta_p)$  матрицы вида (18).

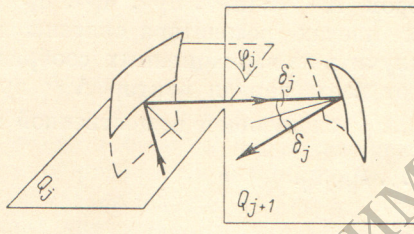


Рис. 1.

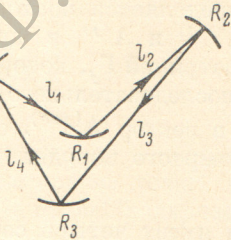


Рис. 2.

4. Настоящая работа посвящена выводу формул для чисел  $\alpha_k$ ,  $\vartheta_p$ , связывающих эти числа явно с параметрами резонатора для случая четырех зеркал и однородной среды ( $N = 4$ ,  $\varepsilon = \mu = 1$ ).

Опишем коротко результаты и приведем полученные формулы.

Зададим параметры резонатора. Пусть все зеркала сферические с радиусом  $R_j$  каждое ( $j$  — номер зеркала,  $j = 1, 2, 3, 4$ ). Пусть  $l_j$  — расстояние по оси между двумя соседними зеркалами  $S_{j-1}$  и  $S_j$ , а  $\varphi_j$  — угол между двумя соседними плоскостями падения (рис. 1, 2).

Для однородной среды уравнения (8) имеют следующие четыре линейно независимые решения в каждом  $j$ -м плече резонатора:

$$\left. \begin{array}{l} \gamma_1^{(j)} = \begin{pmatrix} 1 \\ 0 \end{pmatrix}, \\ \gamma_2^{(j)} = \begin{pmatrix} s \\ 0 \end{pmatrix}, \\ \gamma_3^{(j)} = \begin{pmatrix} 0 \\ 1 \end{pmatrix}, \\ \gamma_4^{(j)} = \begin{pmatrix} 0 \\ s \end{pmatrix}, \end{array} \right\} \quad (20)$$

Фиксируем их. Любое другое решение вследствие формулы (9) имеет вид

$$\gamma(j) = \begin{pmatrix} a_1^{(j)} + a_3^{(j)}s \\ a_3^{(j)} + a_4^{(j)}s \end{pmatrix}. \quad (21)$$

Векторы

$$\mathbf{A}^{j+1} = (a_1^{(j+1)}, a_2^{(j+1)}, a_3^{(j+1)}, a_4^{(j+1)}) \text{ и } \mathbf{A}^{(j)} = (a_1^{(j)}, a_2^{(j)}, a_3^{(j)}, a_4^{(j)})$$

$$\varphi_1 = \varphi, \quad \varphi_2 = -\varphi.$$

(27)

$$\alpha_1, \alpha_2 = \arccos \frac{1}{2} \chi_{1,2},$$

(26)

upn sion nchja  $\alpha_1, \alpha_2, \varphi_1, \varphi_2$  bylinchajotra no foopmyjiam

$$B_2 < 4, \quad |B \cos \varphi \pm \sqrt{4 - B_2^2} \sin \varphi| < 2,$$

(25)

Otojja cirejyjounie yeljorina yektonynbocin pacemartpbraemoro p3oohatoya: Ypabrehna (23) remectrehhie, parshhe, he uprecoxoxiunne no moyjno t3byx.

$$\chi_{1,2} = B \cos \varphi \pm \sqrt{4 - B_2^2} \sin \varphi$$

(24)

P3oohatop yektonynb no npepomy nphojinkenhno, ejchj Demehnin

$$d_{1k} = 1 - 2 \left[ \frac{R_i}{l_i \cos \varphi_i} + \frac{R_k}{l_k \cos \varphi_k} - \frac{2l_k(l_i - l_k) \cos \varphi_i \cos \varphi_k}{R_i R_k} \right].$$

$$c_{1k} = l_i - \frac{R_k}{2l_k(l_i - l_k) \cos \varphi_k},$$

$$b_{1k} = 2 \left[ \frac{R_i}{l_i \cos \varphi_i} + \frac{R_k}{l_k \cos \varphi_k} - \frac{2(l_i - l_k) \cos \varphi_i \cos \varphi_k}{R_i R_k} \right],$$

$$a_{1k} = 1 - \frac{R_k}{2(l_i - l_k) \cos \varphi_k},$$

$$B = a_{32}a_{21} - c_{32}b_{21} - b_{32}c_{21} + d_{32}d_{21},$$

$$\chi = \chi + \zeta = 2 \cos \alpha, \quad \varphi = \varphi_1 - \varphi_2 + \varphi_3 - \varphi_4,$$

$$\chi + (2B \cos \varphi) \chi + (B_2 - 4 \sin^2 \varphi) = 0,$$

(23)

terepetrov oopariika, kotojope juzia jahhoro p3oohatopa upnboruntca k binay godctrehhie shahennin rotopon — pemehnn ro3aparhoo ypabrehna det (L — I),

Hpehmohwkaa ettpile matpnnua binja (22) no foopmyje (10) moyjnn matpnnuy I,

ii  $\hat{Q}_{f-1}$  — ytoj matjennin jyra ha j-e sepkato,  $\varphi_f$  — ytoj mekjjy njochoetann  $\hat{Q}_f$

$$U(\hat{Q}_f) = \begin{pmatrix} 0 & -\sin \varphi_f & 0 & \cos \varphi_f \\ -\sin \varphi_f & 0 & \cos \varphi_f & 0 \\ 0 & \cos \varphi_f & 0 & \sin \varphi_f \\ \cos \varphi_f & 0 & \sin \varphi_f & 0 \end{pmatrix}$$

$$g_f = \begin{pmatrix} 0 & 0 & -\frac{R_f}{2 \cos \varphi_f} & 1 \\ 0 & 0 & 1 & 0 \\ 2 \cos \varphi_f & -1 & 0 & 0 \\ -1 & 0 & 0 & 0 \end{pmatrix}$$

$$w(s) = w_{-1}(s) = \begin{pmatrix} 0 & 0 & 0 & 1 \\ 0 & 0 & 1 & s \\ 0 & 1 & 0 & 0 \\ 1 & s & 0 & 0 \end{pmatrix}$$

$$T_f = w_{-1}(l_f) g_f U(\hat{Q}_f) w(l_f),$$

(22)

cbn3ashii mekjjy coogn cirejyjonnem matpnnueh otpakehnia:

В результате из равенств (4) и (5) вытекает следующая приближенная формула для собственных частот резонатора:

$$\omega_{q, m_1, m_2, p} \approx \frac{2\pi q + \sum_{k=1}^2 \left( m_k + \frac{1}{2} \right) \alpha_k - \delta_p}{\sum_{j=1}^4 l_j}, \quad (28)$$

где  $\alpha_k$ ,  $\delta_p$  определяются соотношениями (24), (26), (27). Собственные функции имеют вид (7) с соответствующими упрощениями (о вычислении  $P_{m_1, m_2}(s, x)$  см. [4]).

5. Полученные формулы относятся к резонаторам, устойчивым по первому приближению. Резонатор, построенный только из плоских зеркал, неустойчив. Однако даже при одном неплоском зеркале, например, первом ( $R_1 = R < \infty$ ) и трех плоских  $R_2 = R_3 = R_4 = \infty$ , можно сделать резонатор устойчивым, выполнив условия (25). В этом случае коэффициент  $B$  в выражении (24) заметно упрощается. А именно, если расстояния между зеркалами одинаковые  $l_1 = l_2 = l_3 = l_4 = l$ , а  $\delta_1 = \delta$  — угол падения луча на первое зеркало, то

$$B = 2 \left( 1 - \frac{2l \cos \delta}{R} \right). \quad (29)$$

Условия устойчивости при этом принимают весьма наглядный вид

$$\begin{aligned} 0 < l \cos \delta < R < \infty, \\ |\cos \varphi \pm \sqrt{2l \cos \delta (R - 2l \cos \delta)} \sin \varphi| < \frac{R}{|R - 2l \cos \delta|}. \end{aligned} \quad \left. \right\} \quad (30)$$

Числа  $\alpha_1$ ,  $\alpha_2$  вычисляются по формуле

$$\alpha_{1,2} = \arccos \frac{(R - 2l \cos \delta) [\cos \varphi \pm \sqrt{2l \cos \delta (R - 2l \cos \delta)} \sin \varphi]}{R}. \quad (31)$$

В заключение замечу, что основные идеи построения решений, сосредоточенных в окрестности изолированного луча, почерпнуты из работы Бабича [5].

#### Литература

- [1] М. М. Попов. Вестн. ЛГУ, № 4, вып. 1, серия физ.-хим., 42, 1967.
- [2] М. М. Попов. Опт. и спектр., 25, 314, 1968.
- [3] М. М. Попов. Опт. и спектр., 25, 394, 1968.
- [4] Т. Ф. Панкратова. Записки научн. семинаров ЛОМИ, 15, 122, 1969.
- [5] В. М. Бабич. Записки научных семинаров ЛОМИ, 9, 15, 1968.

Поступило в Редакцию 31 августа 1972 г.